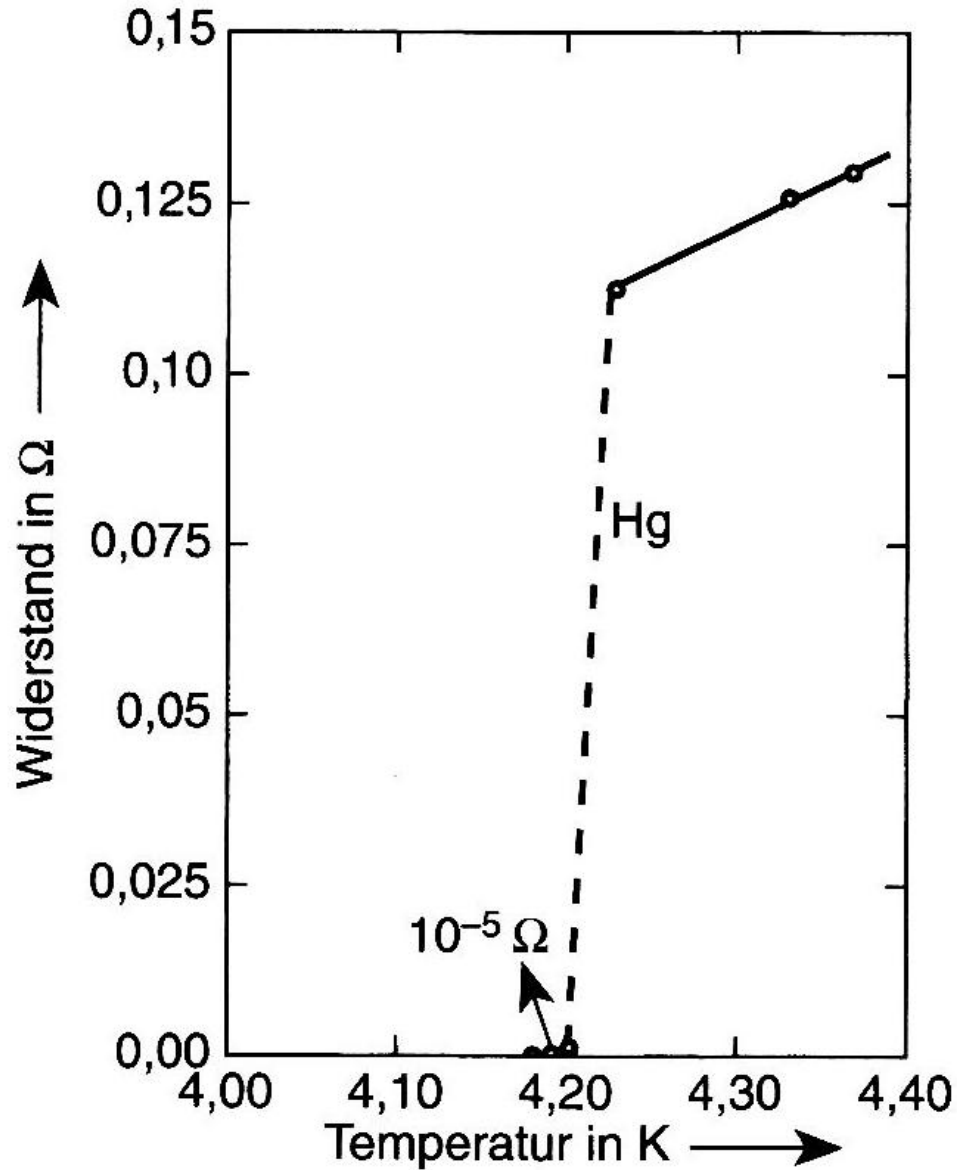


# Superconductivity



Normal metal (N):

$$\rho = \rho_0 + \alpha T^5 \quad \text{at } T \ll \theta_D$$

non-magnetic impurities & phonons

Superconductor:

$$\rho = 0 \quad \text{at } T < T_c$$



Heike Kamerlingh Onnes

	IA	IIA	KNOWN SUPERCONDUCTIVE ELEMENTS												0				
1	H	He													2				
2	Li	Be													3				
3	Na	Mg	III B	IV B	V B	VI B	VIIB	VII				IB	II B	5	6	7	8	9	10
4	K	Ca	Sc	Ti	V	Cr	Mn	Fe	Co	Ni	Cu	Zn	Ga	32	33	34	35	36	4
5	Rb	Sr	Y	Zr	Nb	Mo	Tc	Ru	Rh	Pd	Ag	Cd	In	50	51	52	53	54	5
6	Cs	Ba	*La	Hf	Ta	W	Re	Os	Ir	Pt	Au	Hg	Tl	82	83	84	85	86	6
7	Fr	Ra	+Ac	Rf	Ha	106	107	108	109	110	111	112							7

■ BLUE = AT AMBIENT PRESSURE  
■ GREEN = ONLY UNDER HIGH PRESSURE

[SUPERCONDUCTORS.ORG](http://SUPERCONDUCTORS.ORG)

## \* Lanthanide Series

## + Actinide Series

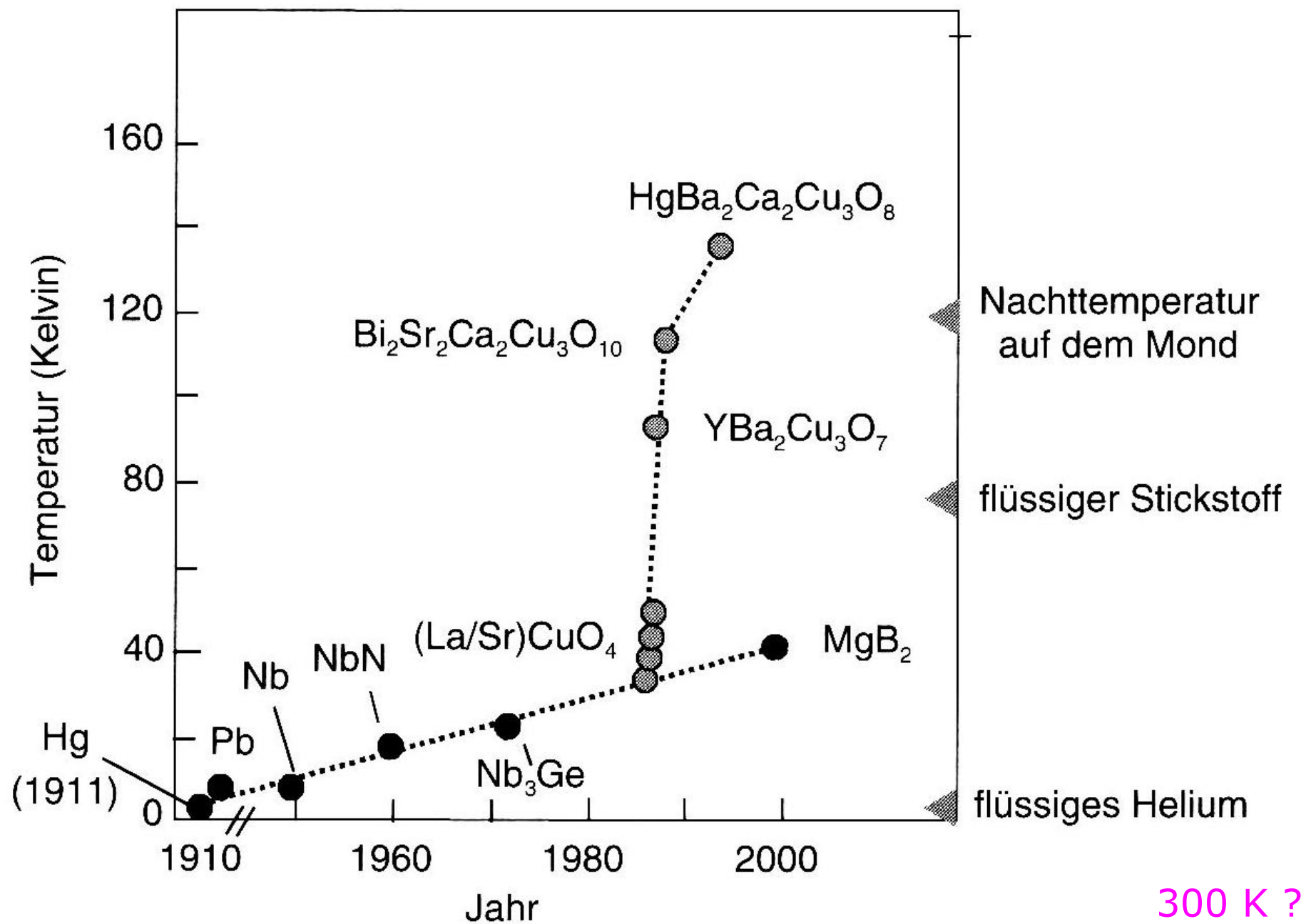
58 Ce	59 Pr	60 Nd	61 Pm	62 Sm	63 Eu	64 Gd	65 Tb	66 Dy	67 Ho	68 Er	69 Tm	70 Yb	71 Lu
90 Th	91 Pa	92 U	93 Np	94 Pu	95 Am	96 Cm	97 Bk	98 Cf	99 Es	100 Fm	101 Md	102 No	103 Lr

# Most metals are superconductors

# Some Type 1 Superconductors

Lead (Pb)	7.196 K
Lanthanum (La)	4.88 K
Tantalum (Ta)	4.47 K
Mercury (Hg)	4.15 K
Tin (Sn)	3.72 K
Indium (In)	3.41 K
Thallium (Tl)	2.38 K
Aluminum (Al)	1.175 K
Gallium (Ga)	1.083 K
Molybdenum (Mo)	0.915 K
Zinc (Zn)	0.85 K
Osmium (Os)	0.66 K
Cadmium (Cd)	0.517 K
Ruthenium (Ru)	0.49 K
Titanium (Ti)	0.40 K
Uranium (U)	0.20 K
Hafnium (Hf)	0.128 K
Iridium (Ir)	0.1125 K
Beryllium (Be)	0.023 K
Tungsten (W)	0.0154 K
Lithium (Li)	0.0004 K
Rhodium (Rh)	0.000325 K

$T_C(t)$



# Persistent current

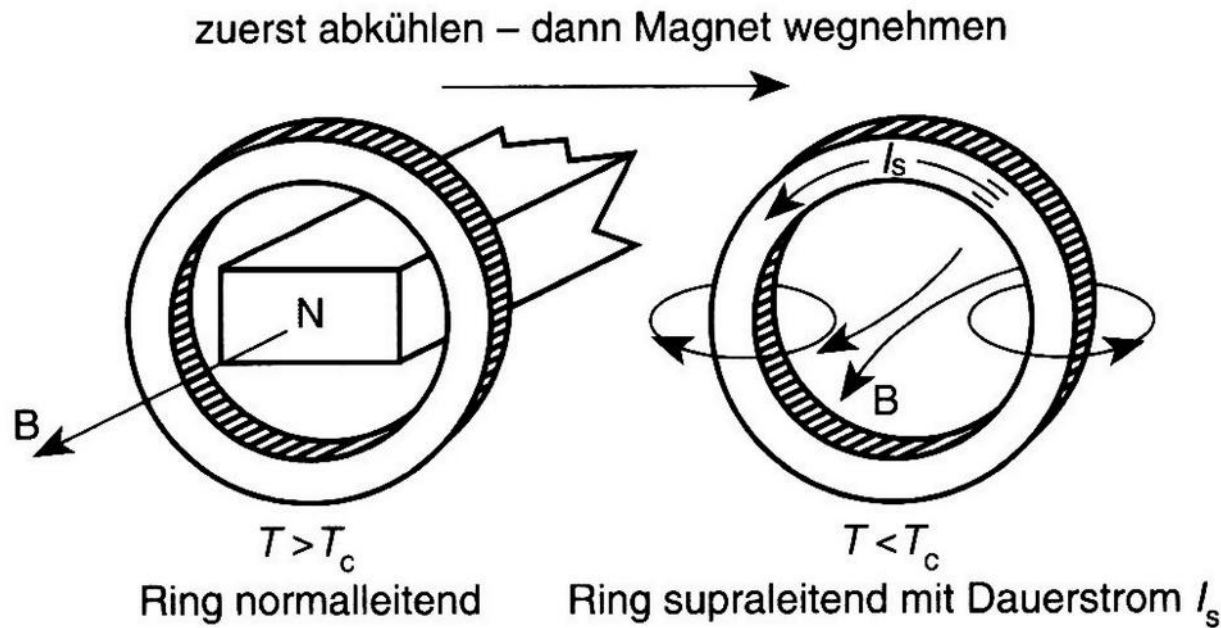
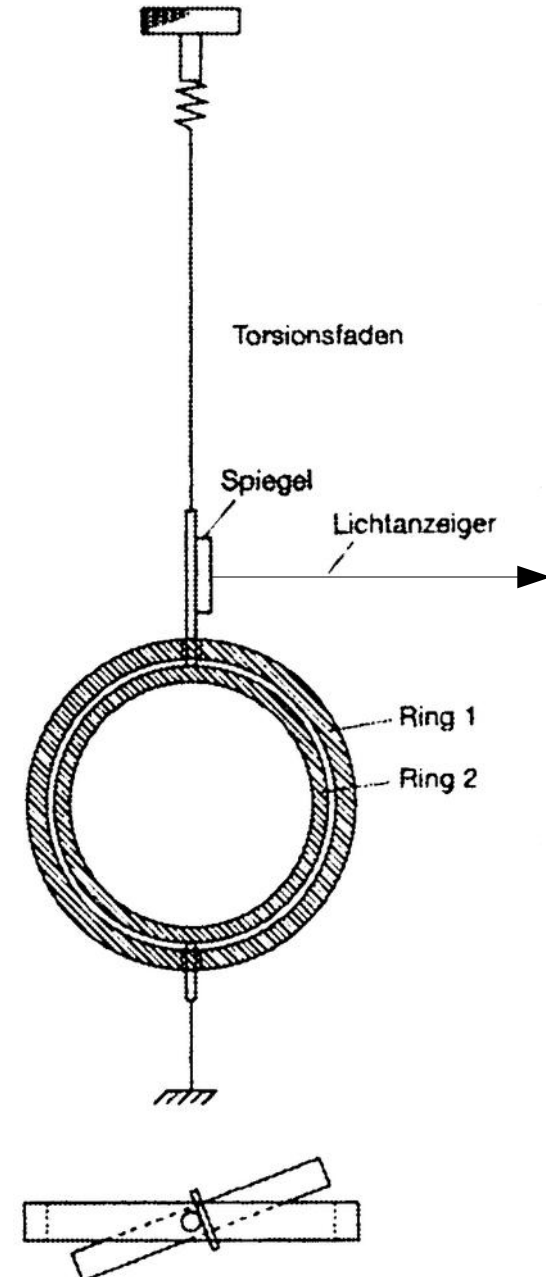


Abb. 1.1 Erzeugung eines Dauerstroms

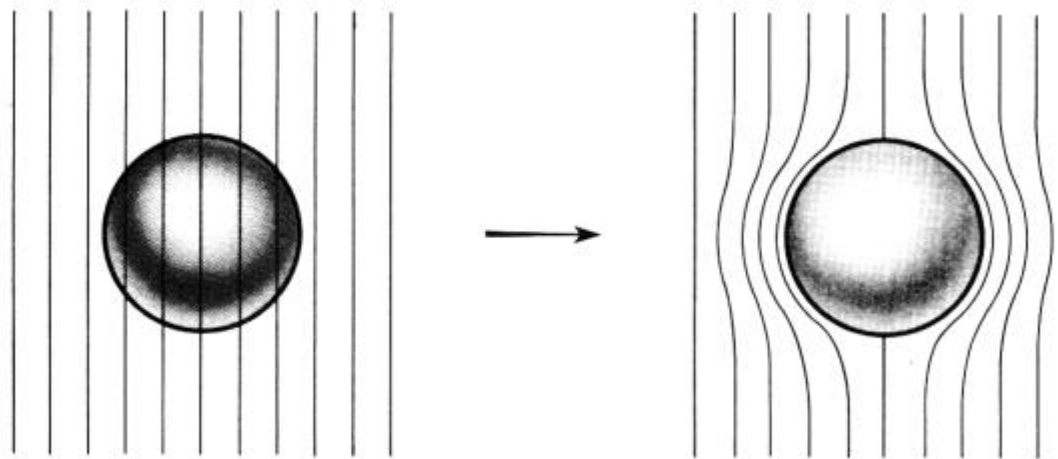
No decay detected over 2.5 years

No dissipation

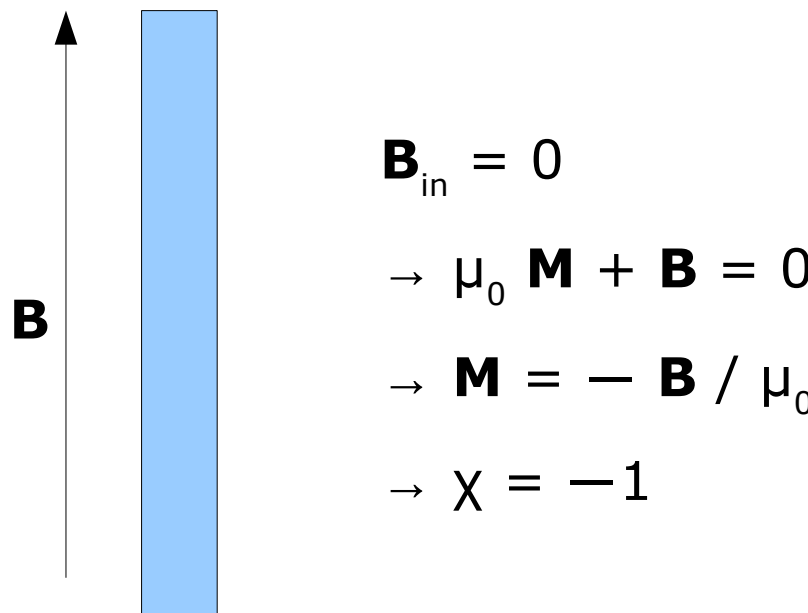
Minimum estimated decay time > age of universe



# Meißner-Ochsenfeld-Effect (1933)



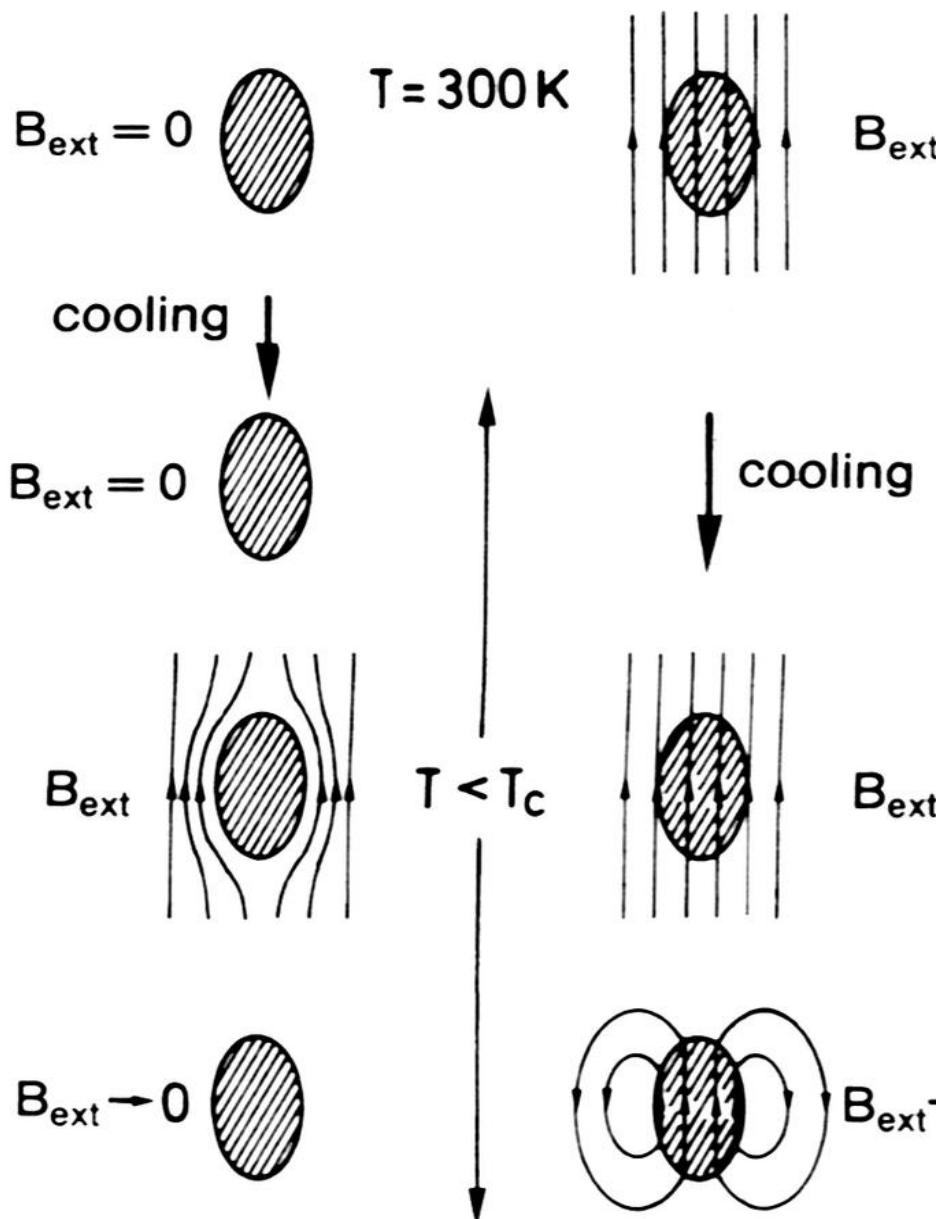
B field does not penetrate  
= superconductors display  
perfect diamagnetism



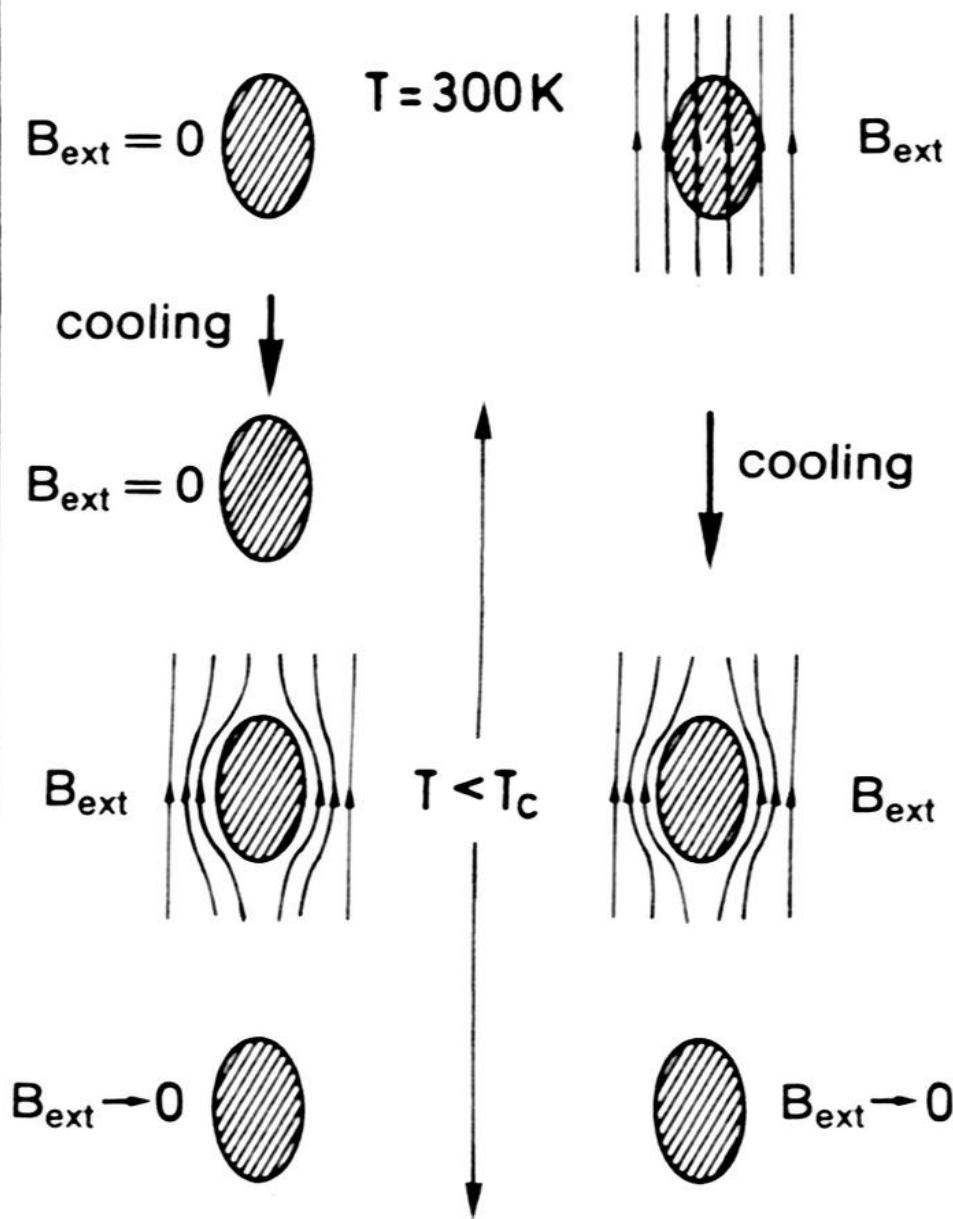
Walter Meißner

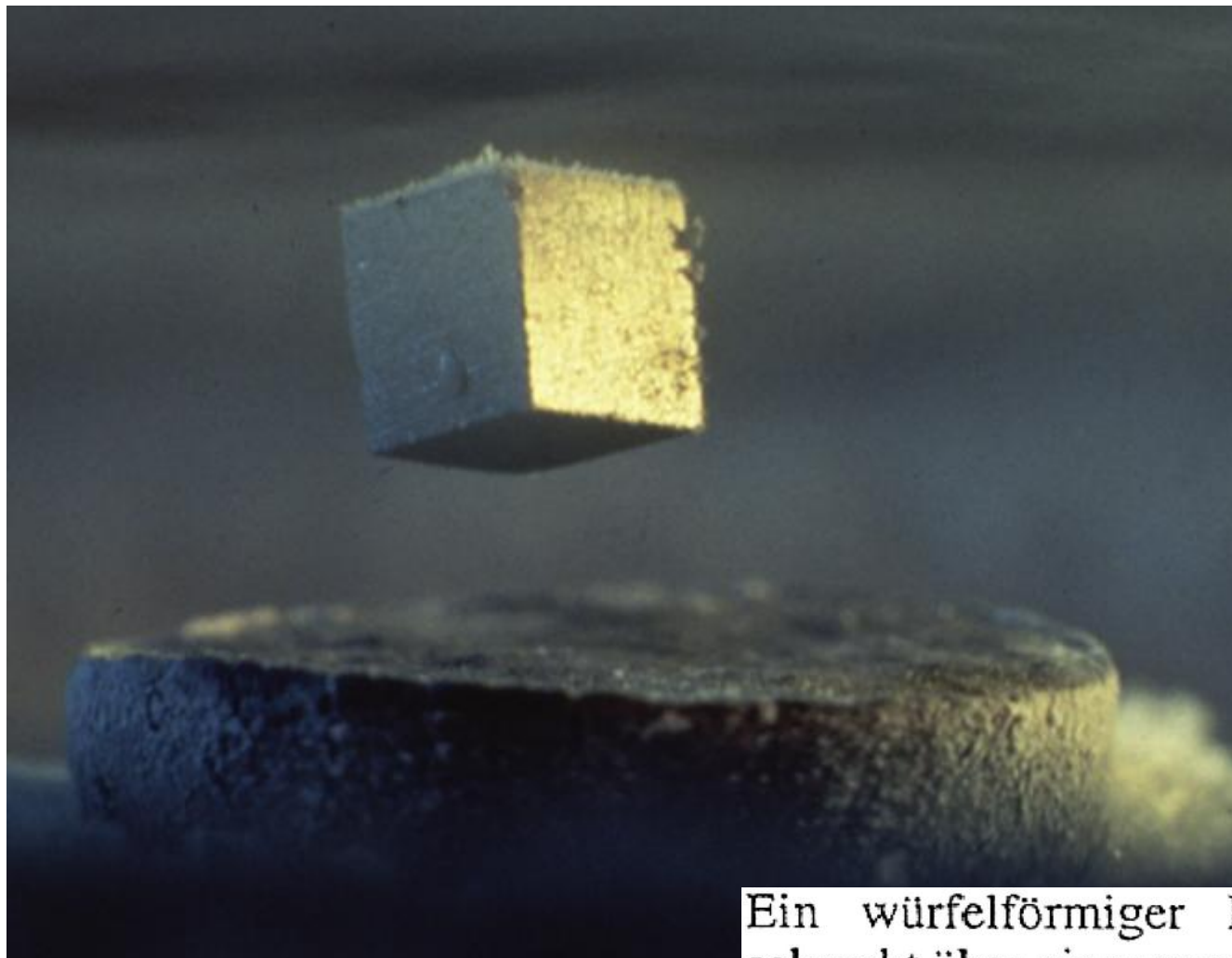
# Perfekter Leiter vs. Supraleiter

Ideal conductor  
( $R = 0$ )



Superconductor





Ein würfelförmiger Permanentmagnet schwebt über einer supraleitenden Scheibe aus dem Hochtemperatur-Supraleiter  $\text{YBa}_2\text{Cu}_3\text{O}_7$ . Das Schweben ist eine Folge des Meißner-Ochsenfeld-Effekts: Ein Supraleiter verhält sich wie ein idealer Diamagnet und stößt den Permanentmagneten ab. (© 1988 Richard Megna, Fundamental Photographs)

# SUPERFLUIDITY

first observed in  $\text{He}^4$  at  $T < 2.17 \text{ K}$

also:  $\text{He}^3$  at  $T < 0.003 \text{ K}$

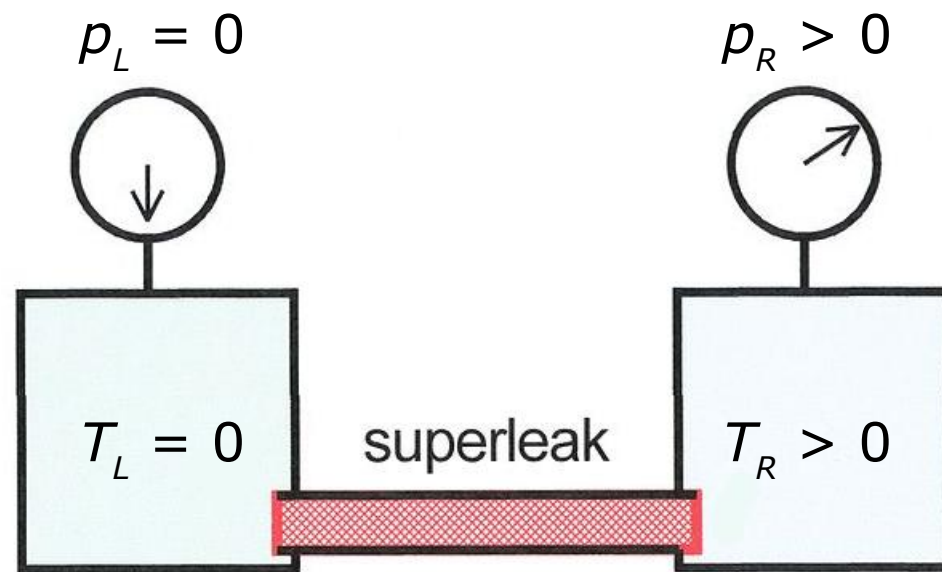
frictionless flow so long as  $v < v_c \approx 20 \text{ cm/s}$

persistent circular motion

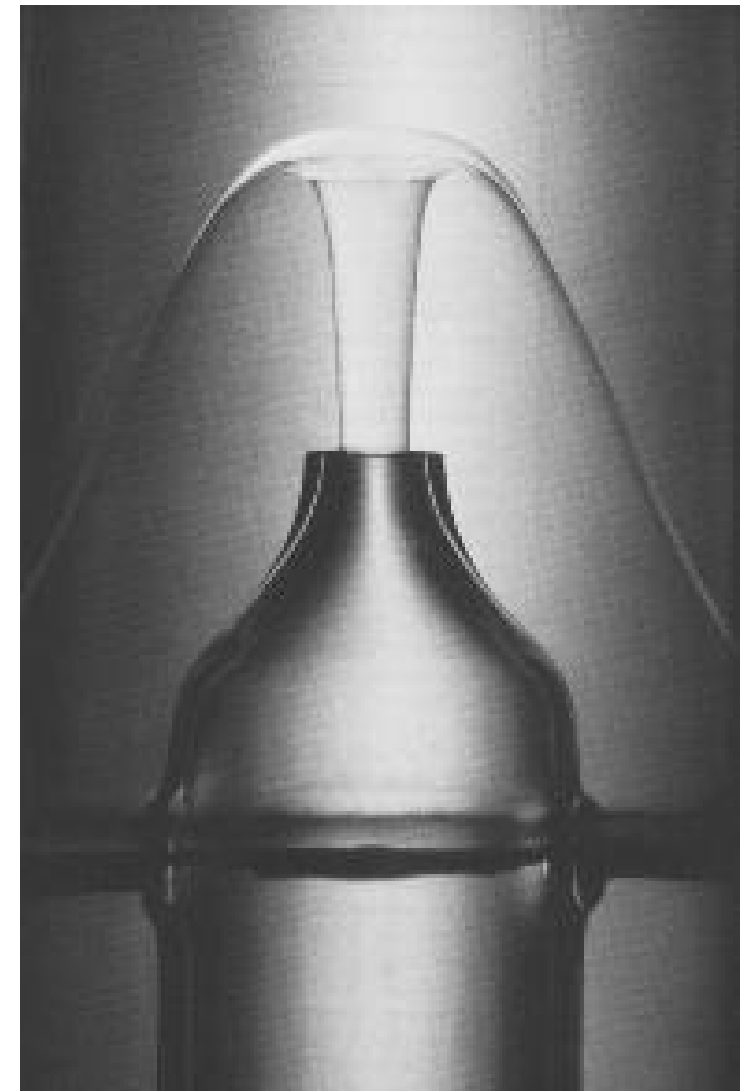
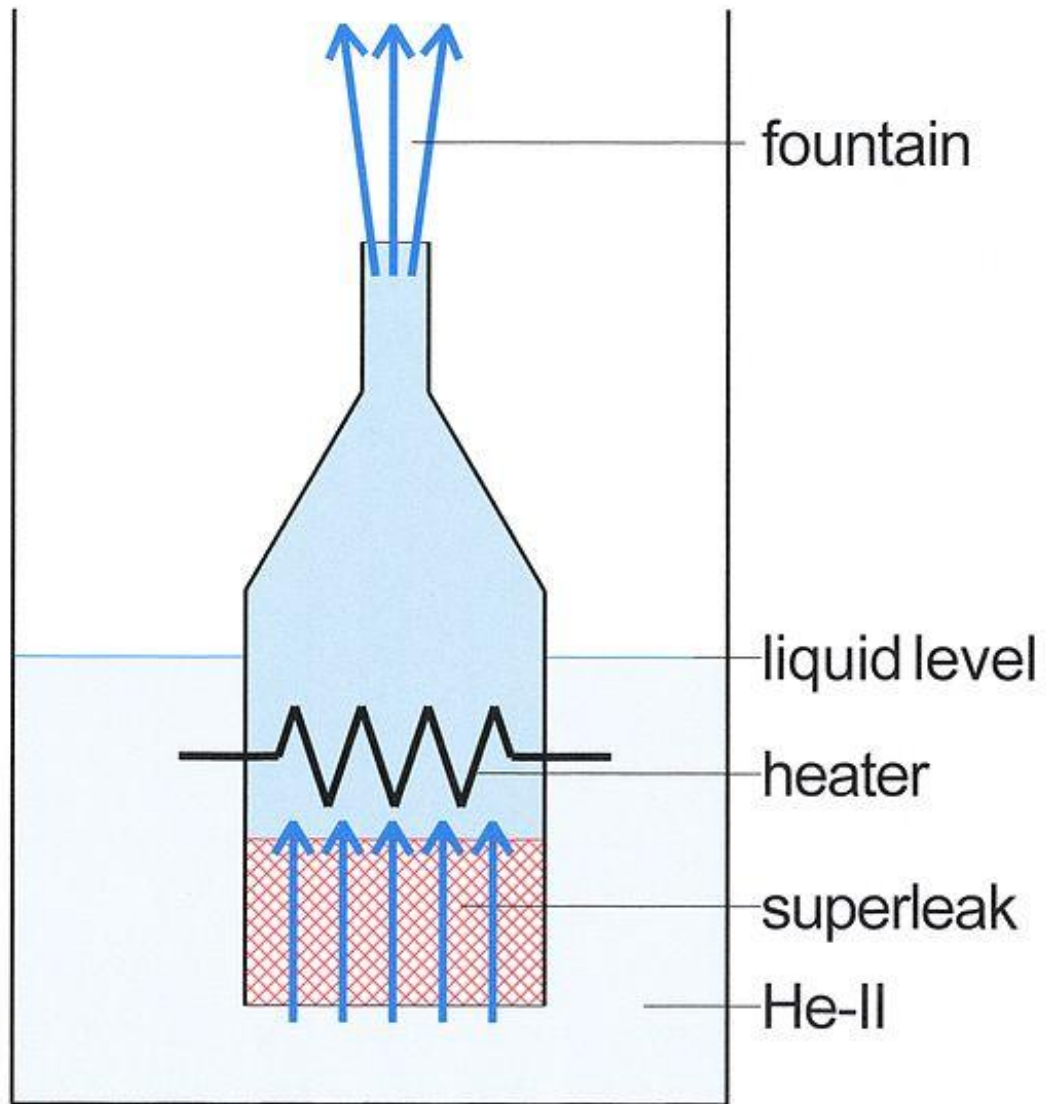
flows up walls

model: superfluid + normal fluid

# "Osmotischer Druck" im Zweiflüssigkeitsmodell

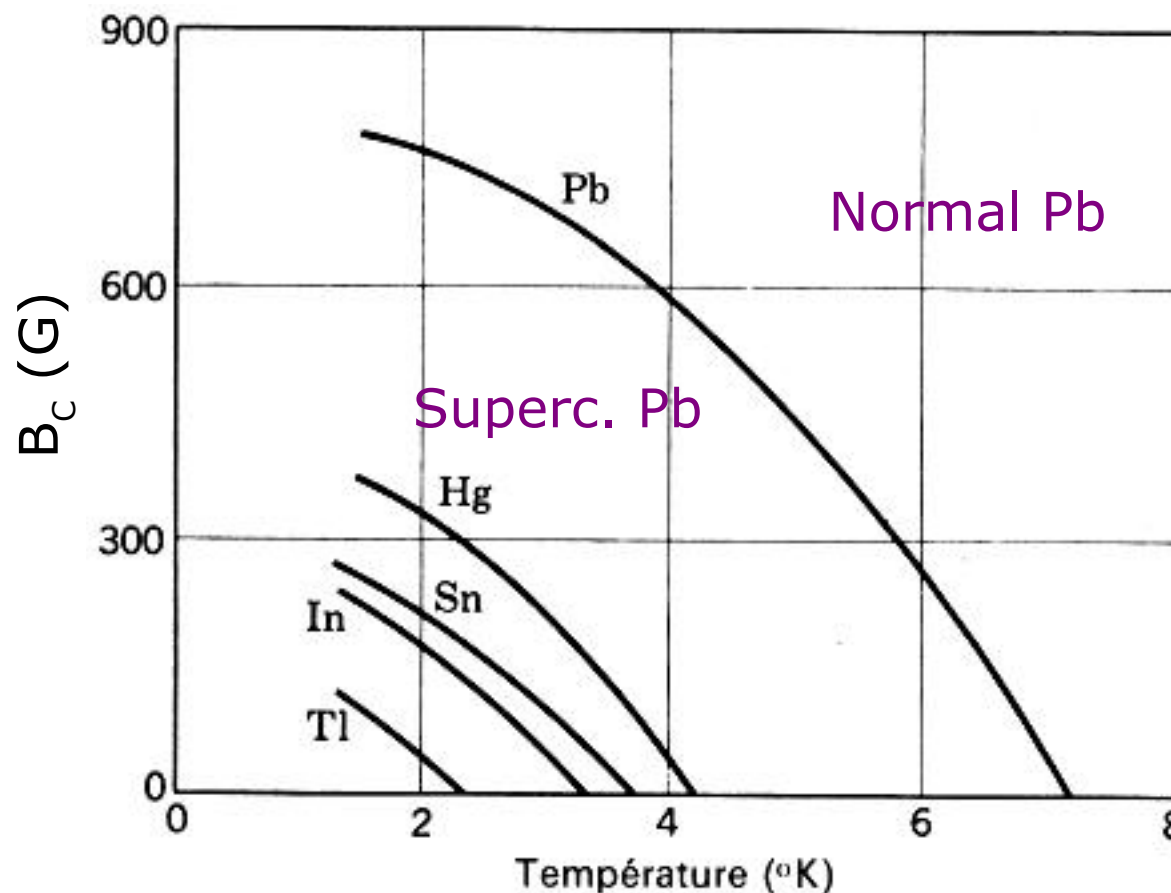


# Fountain effect



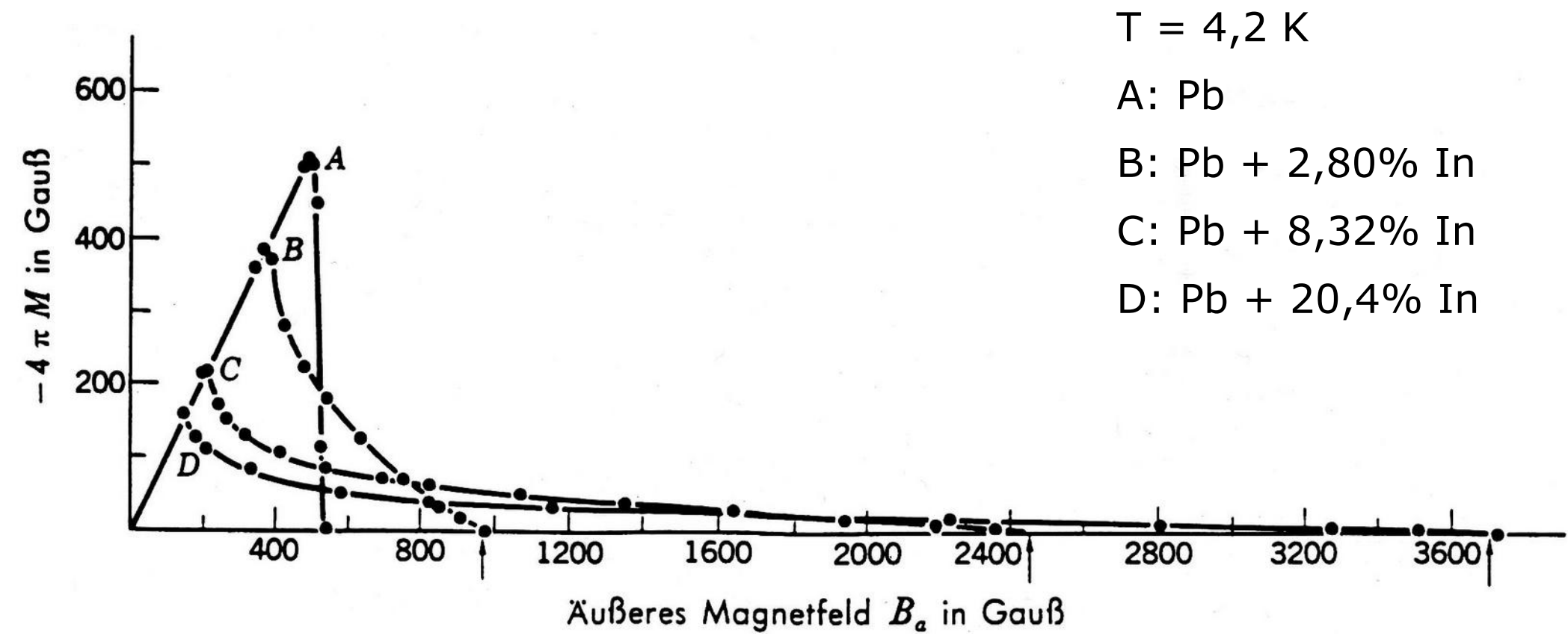
Application: drive  $^3\text{He}$  circulation in dilution refrigerators

# The Critical Field $B_c(T)$

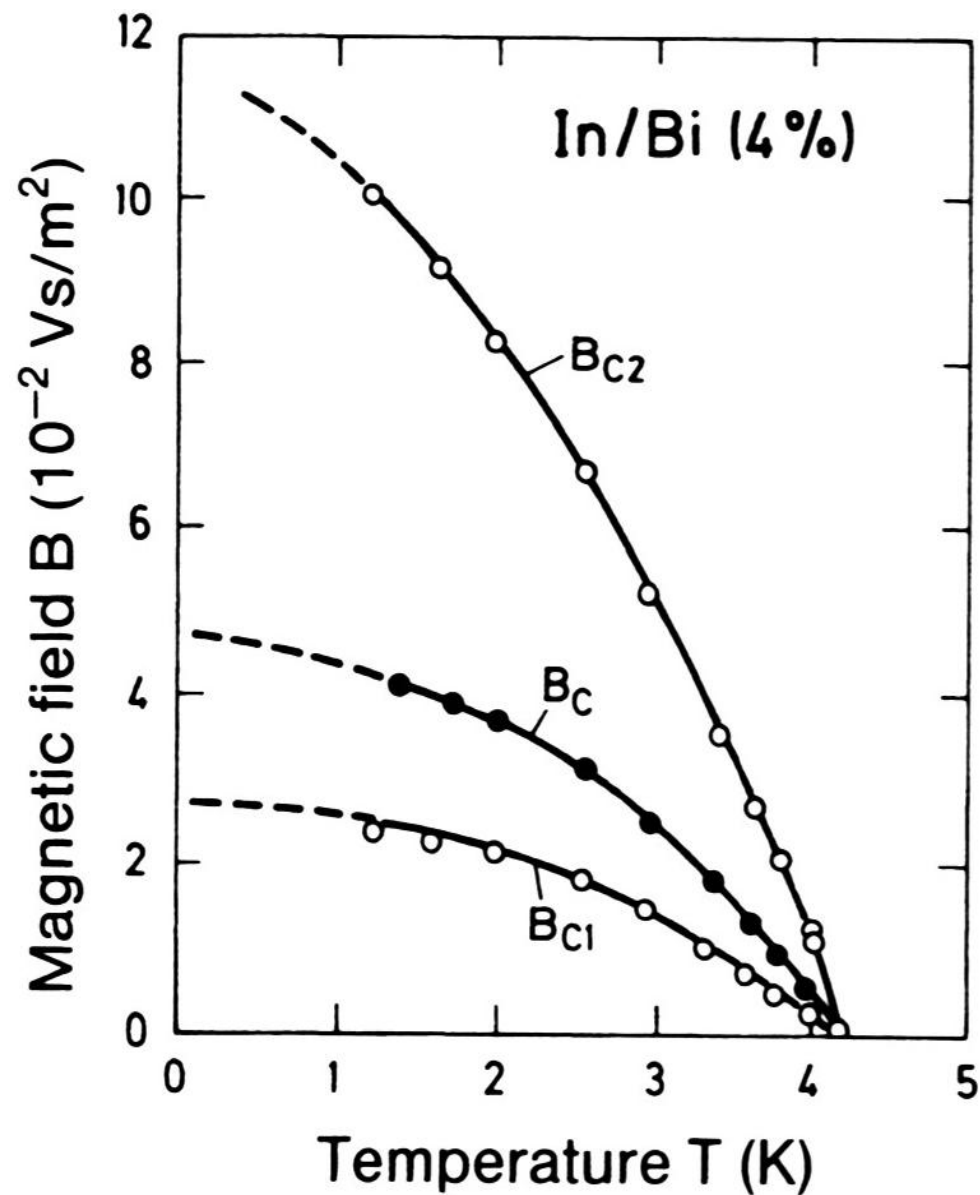


$$B_c = B_0 [1 - (T/T_c)^2]$$

# Alloying Pb: Two critical fields - Type 2 SC



# $B_{C1}(T)$ and $B_{C2}(T)$



# Some Type 2 Superconductors

## Ruthenates

$K_3C_{60}$  18 K

$Nb_3Ge$  23.2 K

$Nb_3Sn$  18.1 K

$V_3Si$  17.1 K

$V_3Ga$  16.8 K

$V_3In$  13.9 K

$Nb_{0.6}Ti_{0.4}$  9.8 K

Tc 7.80 K

## Cuprates

$MgB_2$  39 K

$Nb_3Si$  19 K

$Nb_3Al$  18 K

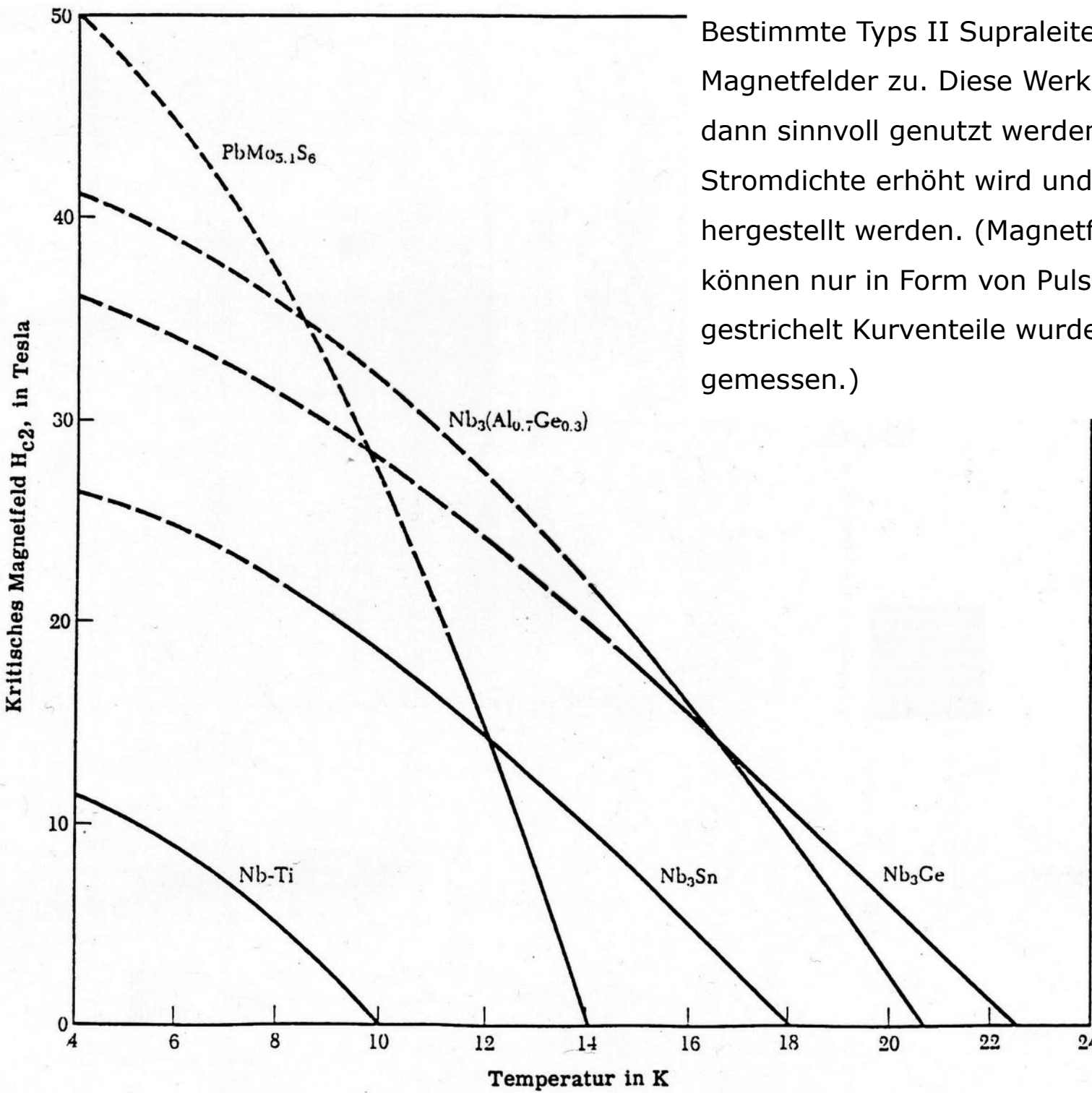
$Ta_3Pb$  17 K

$Nb_3Ga$  14.5 K

NbN 16.1 K

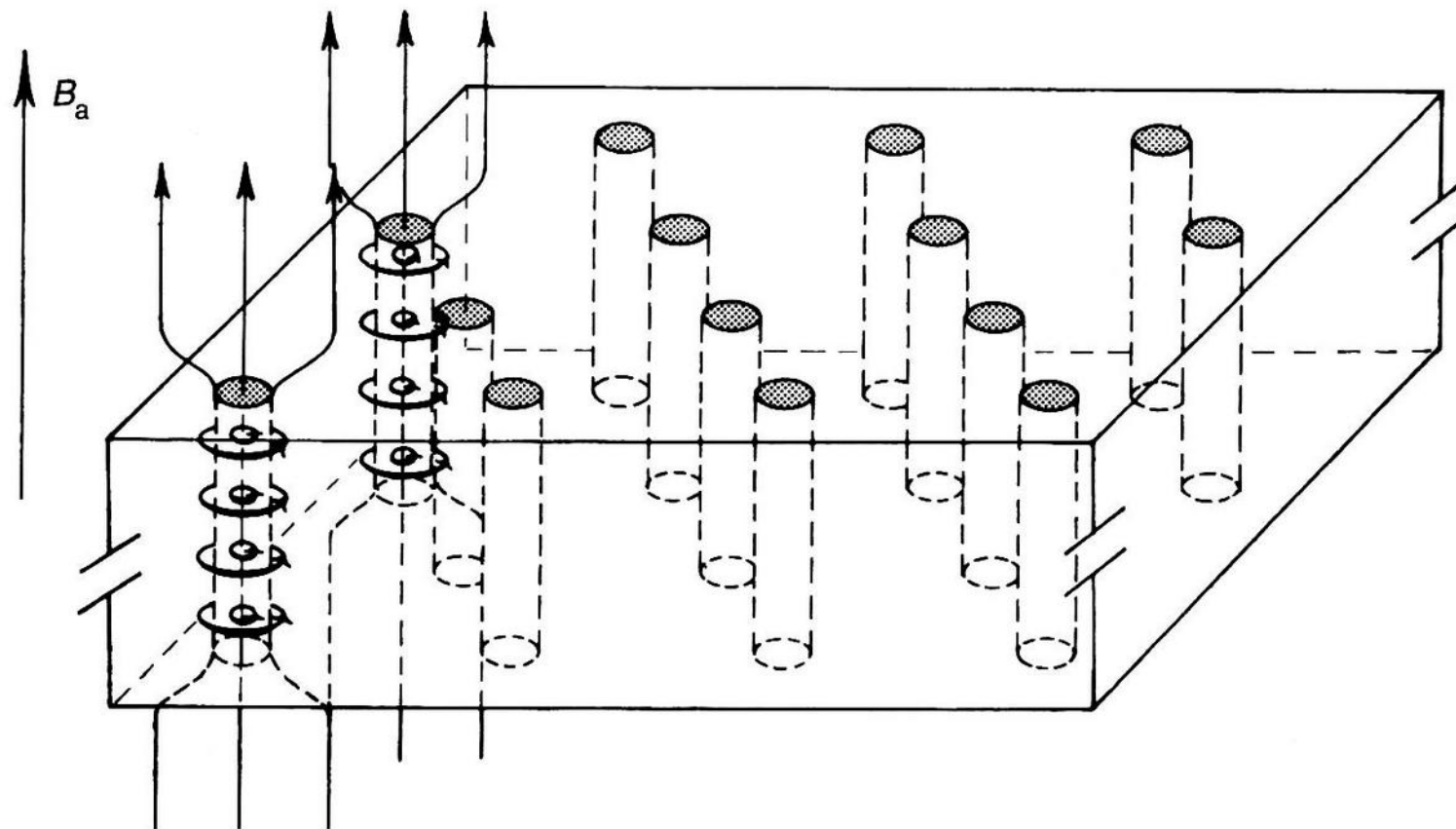
Nb 9.25 K

V 5.40 K



Bestimmte Typs II Supraleiter lassen unerwartet starke Magnetfelder zu. Diese Werkstoffe können jedoch erst dann sinnvoll genutzt werden, wenn ihre kritische Stromdichte erhöht wird und sie als gut getrennte Leiter hergestellt werden. (Magnetfelder von mehr als ca. 20 T können nur in Form von Pulsen erzeugt werden; gestrichelt Kurventeile wurden auf diese Weise gemessen.)

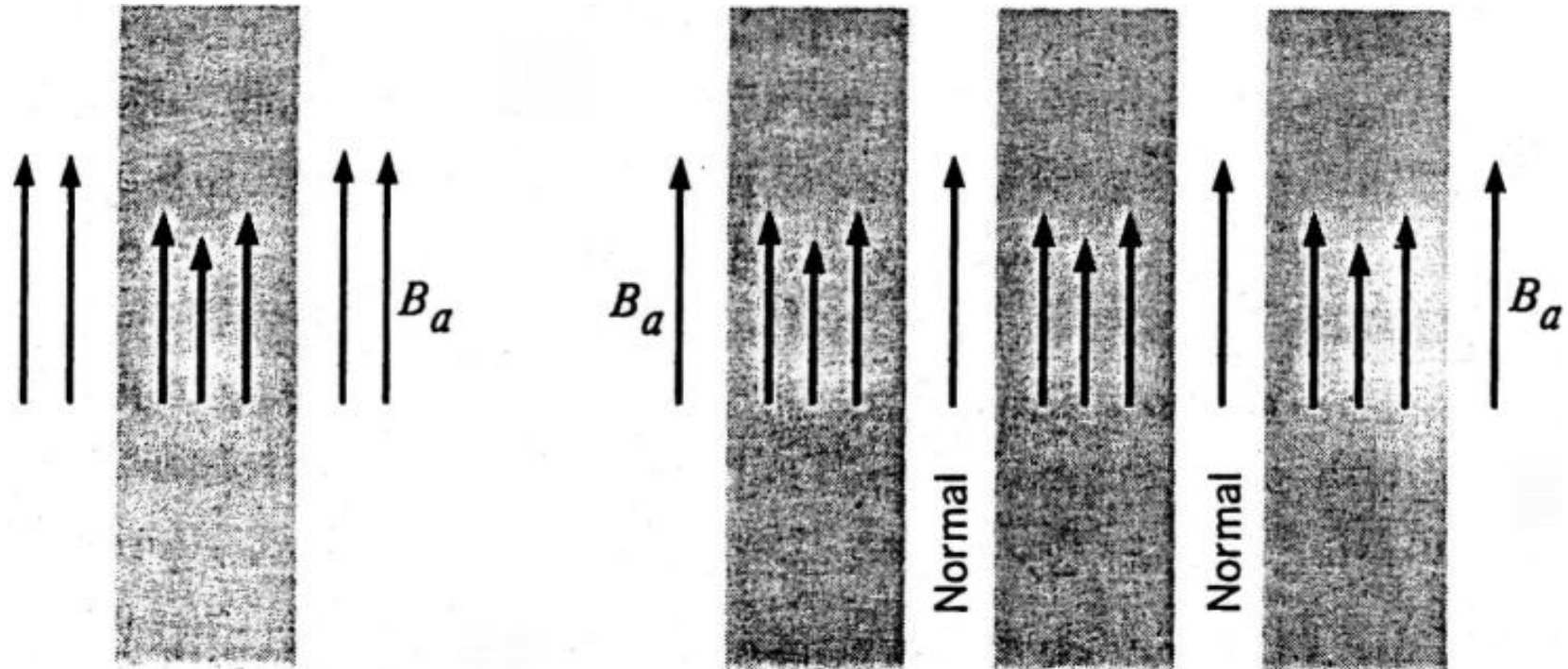
# The mixed state: Shubnikov phase



(Schematic. Magnetic field and supercurrents are indicated for two flux vortices)

# Eindringen eines Magnetfeldes in Supraleiter

Film, dessen Dicke ungefähr der  
Londonschen Eindringtiefe  $\lambda$  entspricht.  
Die Pfeillänge deutet die Magnetfeldstärke an.

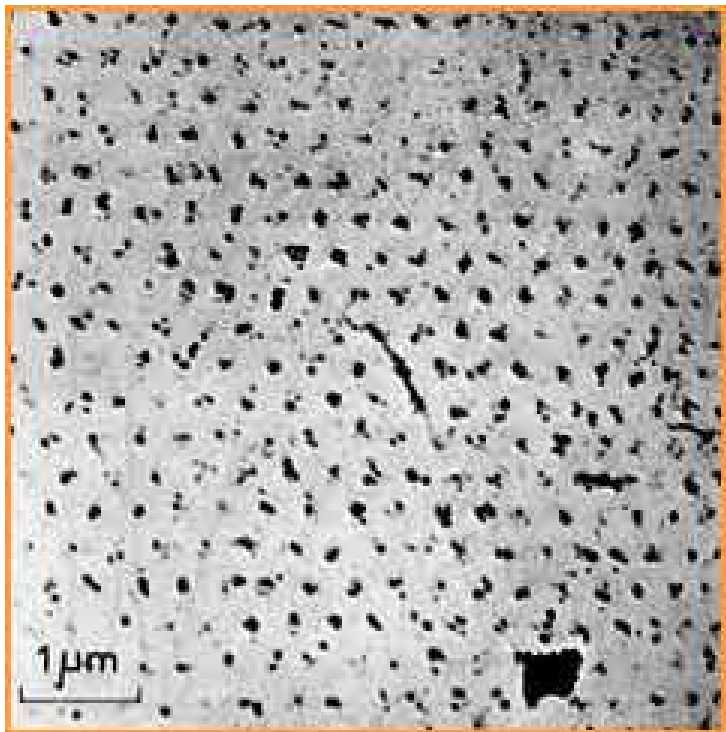


Homogene kompakte Probe im Mischzustand, bei dem sich  
normalleitende und supraleitende Bereiche abwechseln. Die  
supraleitenden Bereiche sind dünn im Vergleich zu  $\lambda$ . (Die N-  
Gebiete des Wirbelzustandes sind nicht exakt normal.)

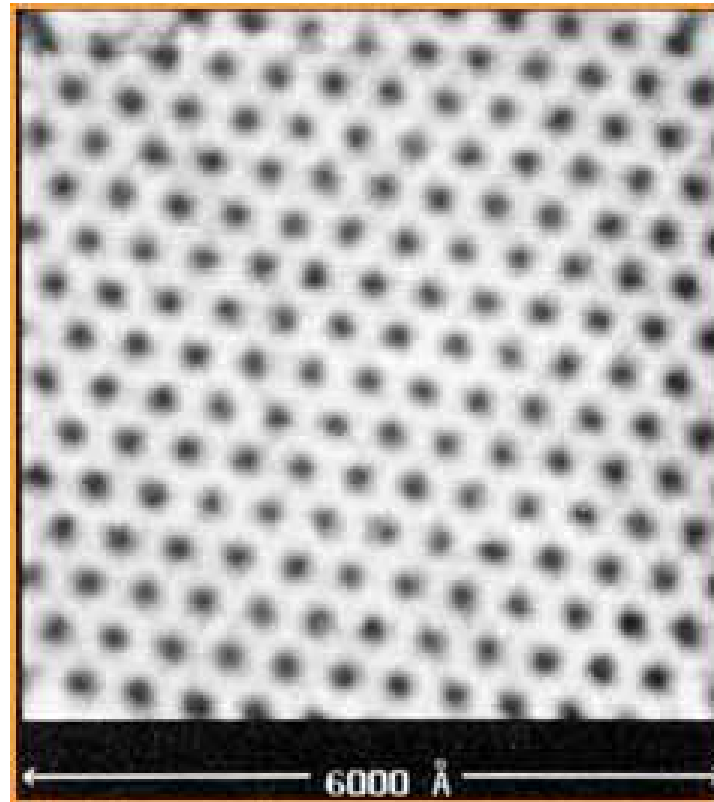
# Vortex Lattice Images

1957: Theoretical Prediction of Vortices in Type-II Superconductors

A. A. Abrikosov Soviet Physics JETP 5, 1174 (1957) Nobel prize 2003



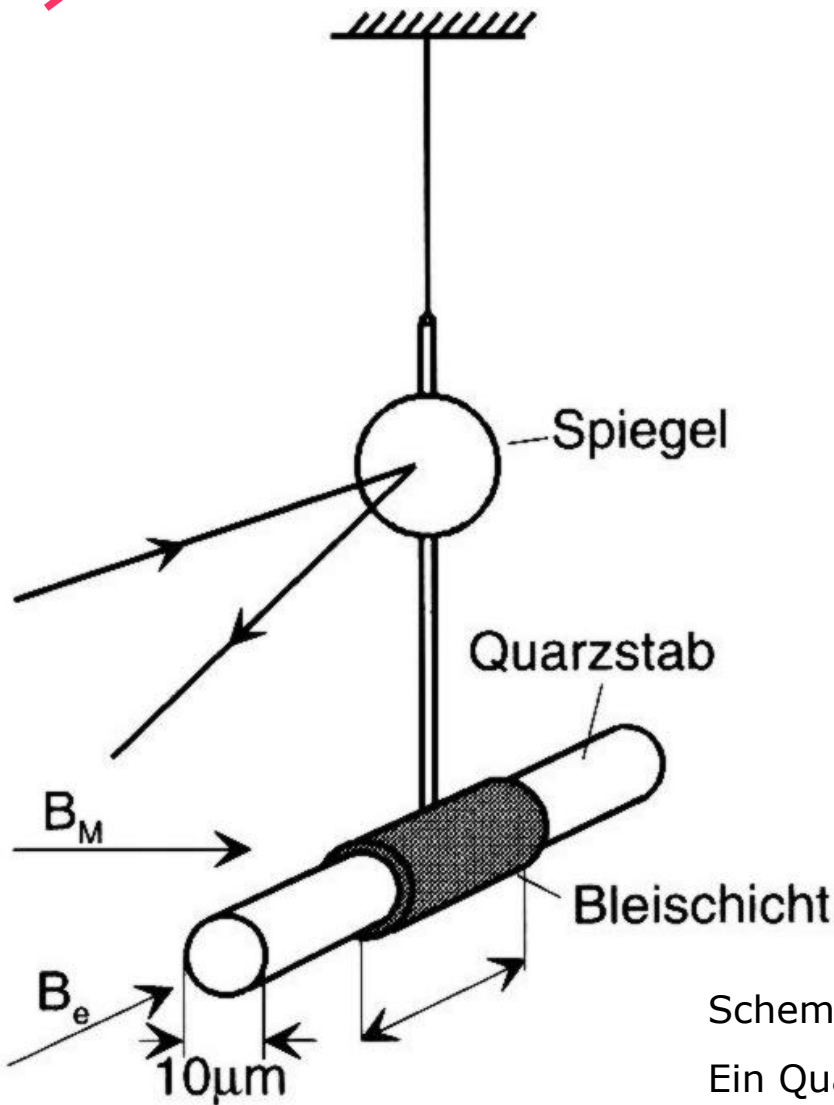
First image of Vortex lattice  
Bitter Decoration, 1967  
Pb-4at%In rod, 1.1 K, 195 G  
U. Essmann, H. Trauble,  
Phys. Lett. **24A**, 526 (1967)



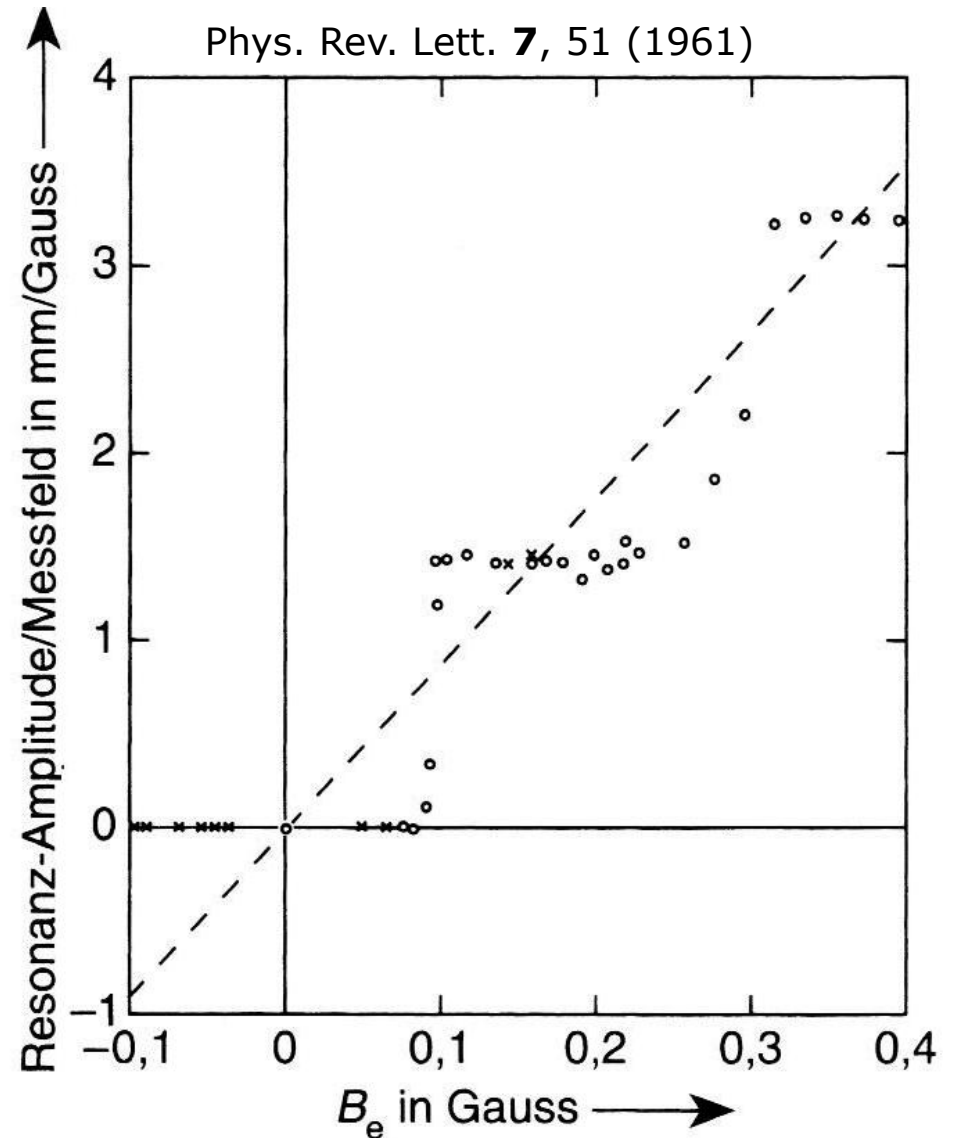
STM, 1989  
 $\text{NbSe}_2$ , 1 T, 1.8 K  
H. F. Hess et al.,  
Phys. Rev. Lett. **62**, 214 (1989)

# Fluxons

$$\Phi_0 = \frac{h}{2e} = 2.07 \cdot 10^{-15} T m^2$$

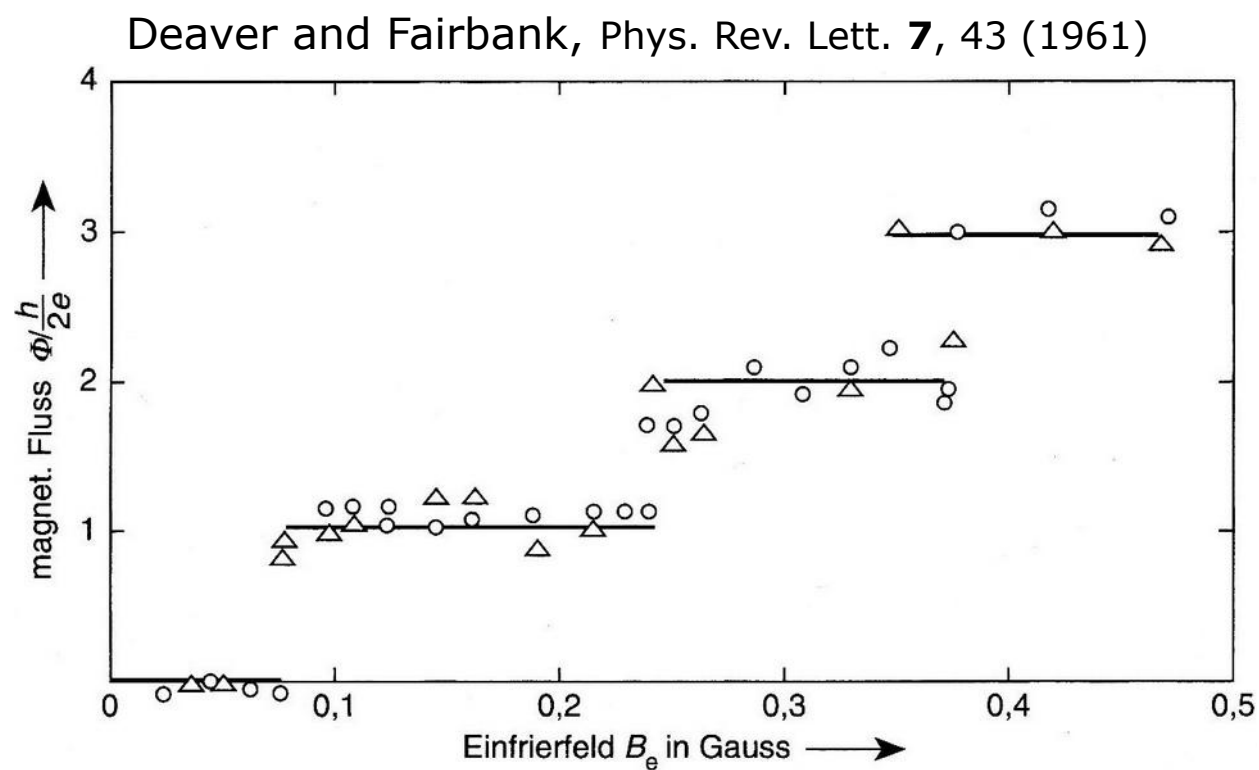


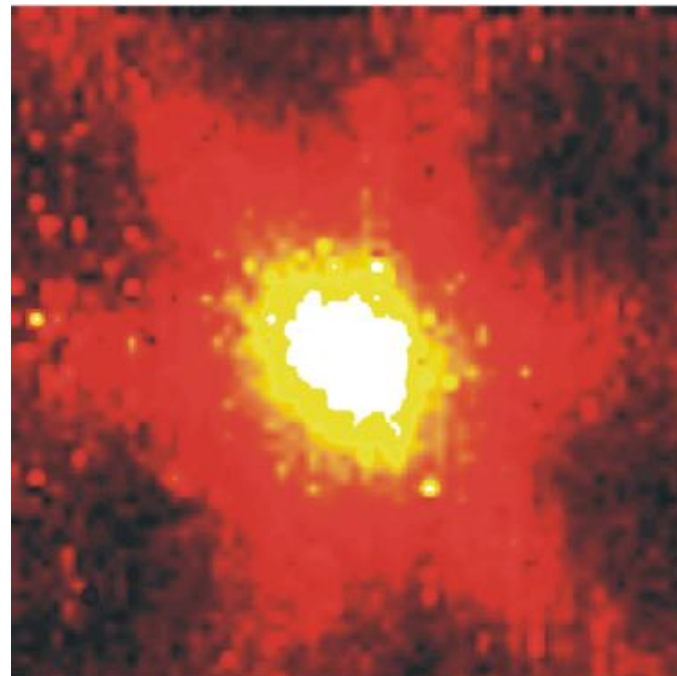
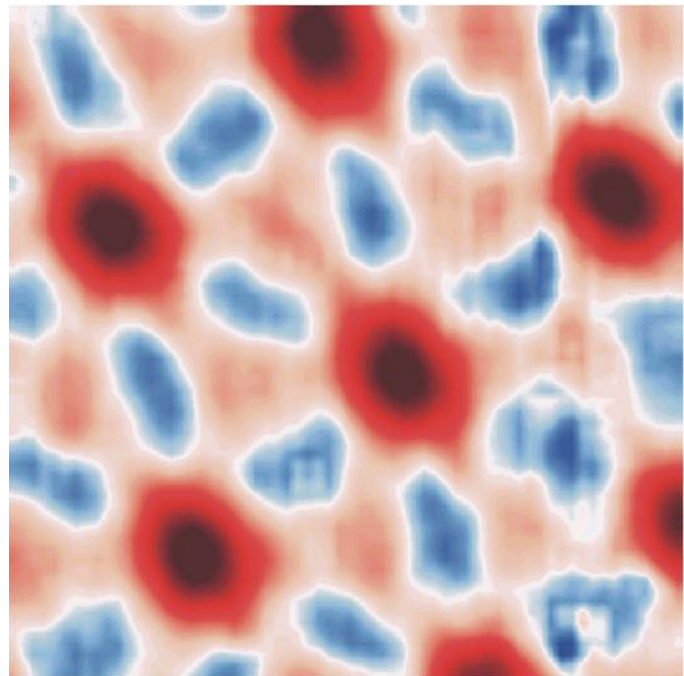
Schema des Messaufbaus von Doll und Näßauer.  
Ein Quarzstäbchen mit einer aufgedampften  
Bleischicht schwingt in flüssigem Helium.



# Fluxons - 2. Methode

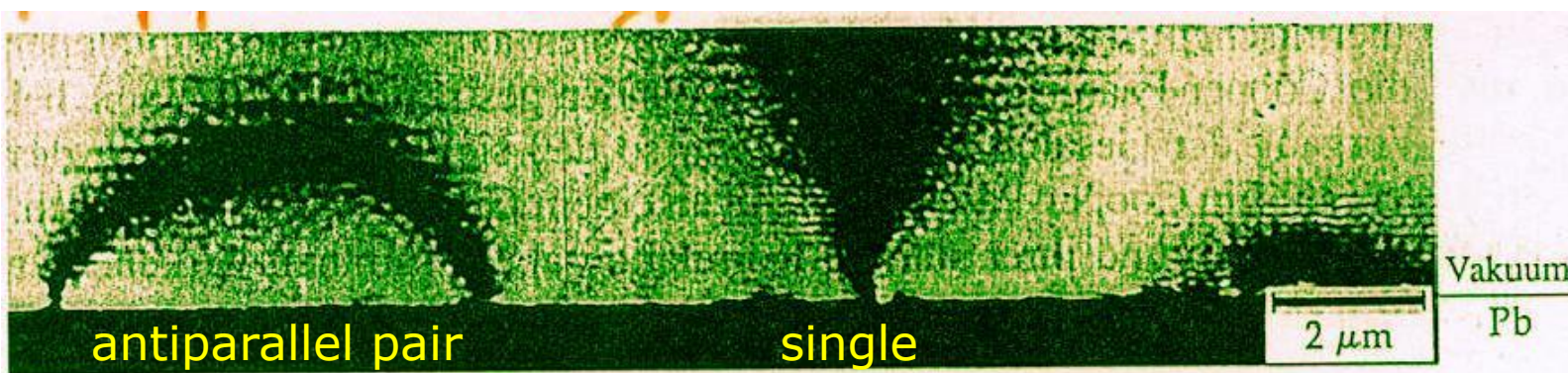
Oszillierender Zylinder mit Spulen an Enden -  
Induktionsspannung messen



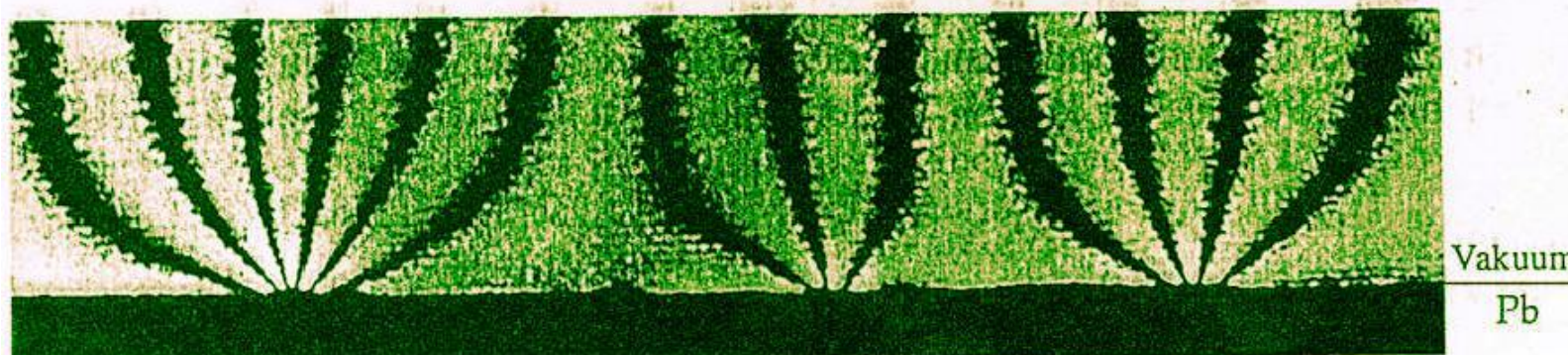


STM

Kouwenhoven et al.,  
TU Delft

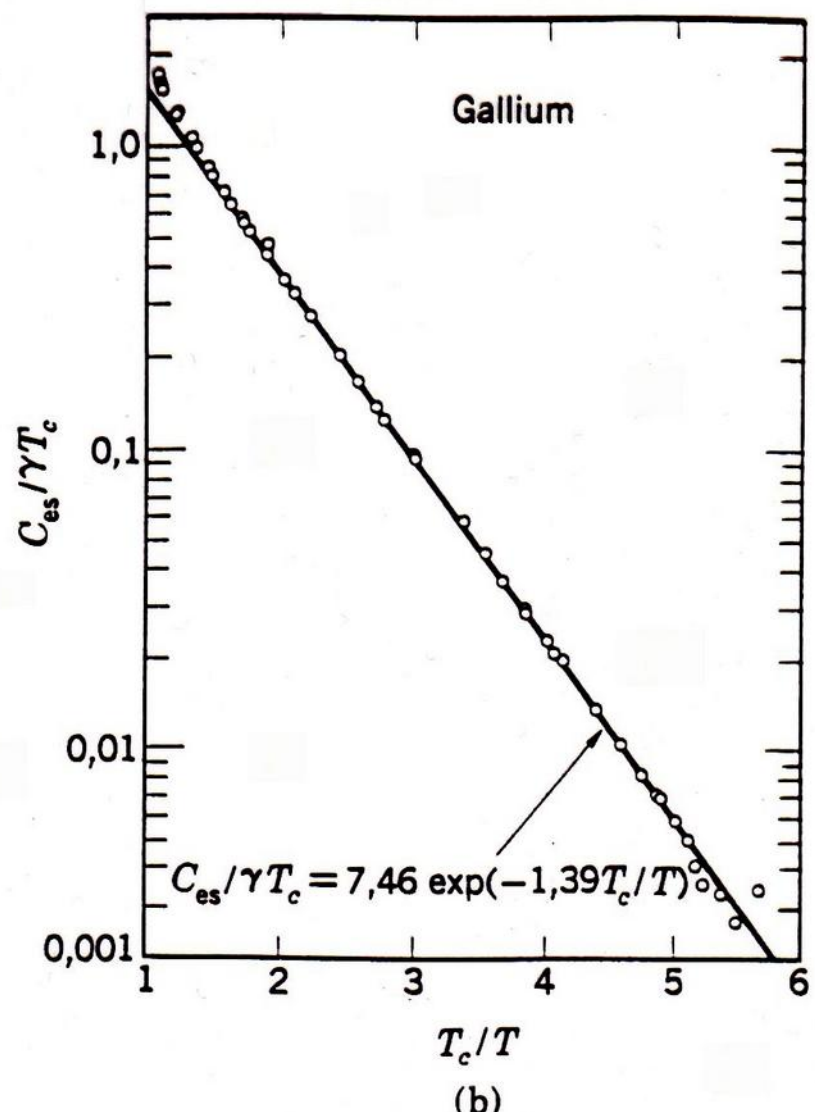
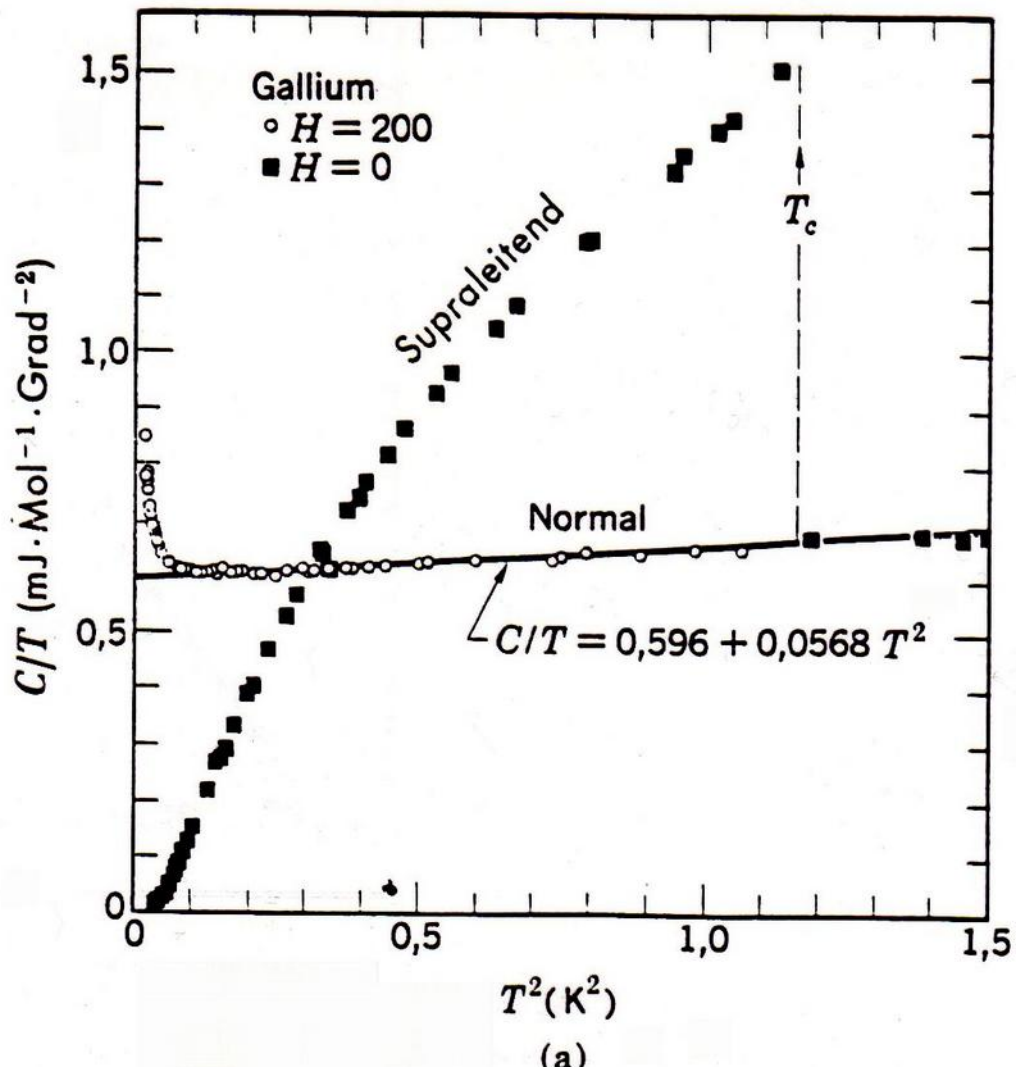


Electron  
Phase  
Imaging  
(Tonomura)



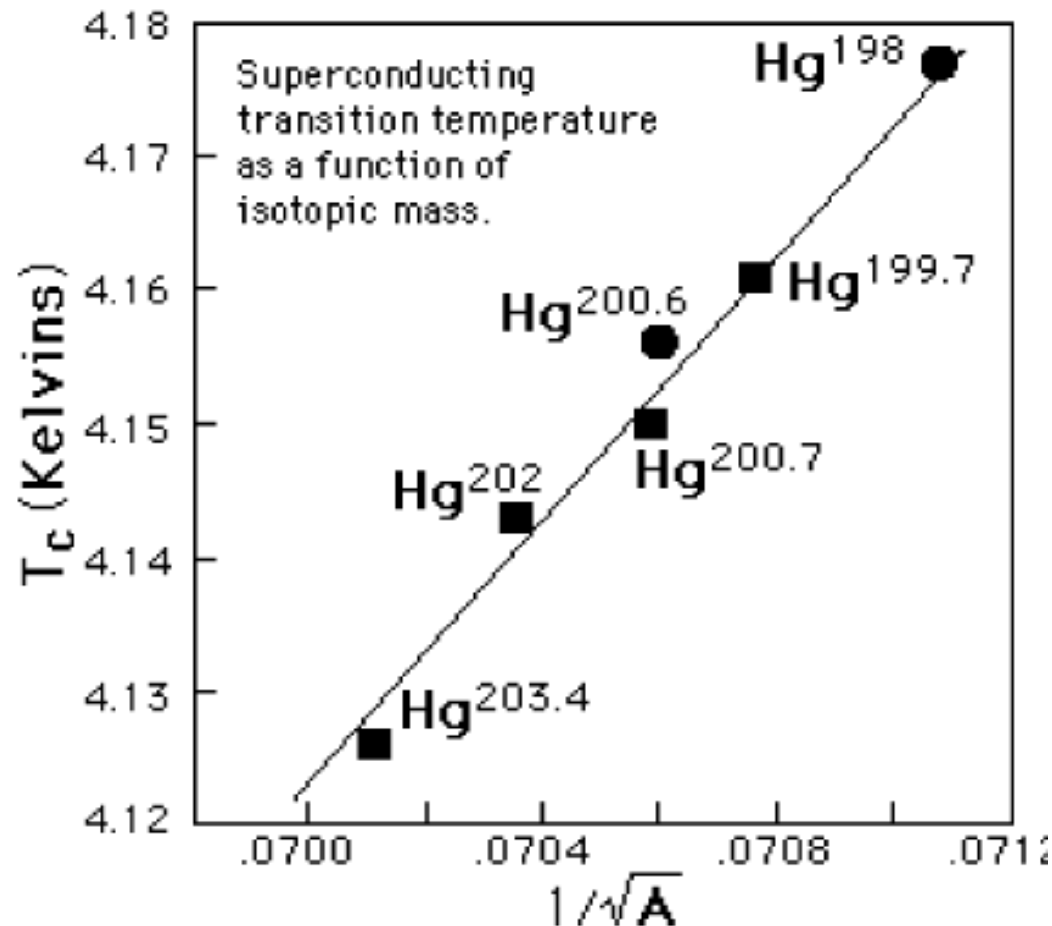
# Specific heat

(a) Molwärme von Gallium im normalen und im supraleitenden Zustand. Im Normalzustand (der bei einer Feldstärke von 200 G wiederhergestellt wird) liefern Elektronen, Gitter und (bei tiefen Temperaturen) Kernquadrupole Beiträge. In (b) ist der elektro-nische Beitrag  $C_{es}$  zur spezifischen Wärme des supraleitenden Zustandes im logarithmi-schen Maßstab über  $T_c/T$  aufgetragen; die exponentielle Abhängigkeit von  $1/T$  ist offensichtlich. Hier ist:  $\gamma = 0,60 \text{ mJ Mol}^{-1} \cdot \text{Grad}^{-2}$ . [Nach N. E. Phillips ].



Exponential c(T) – Any ideas?

# Isotope effect



● E. Maxwell, Phys. Rev. 78, 477 (1950)

■ C. A. Reynolds, et al., Phys. Rev. 78, 487 (1950)

# Experimentelle Werte von $\alpha$ in $M^\alpha T_c = \text{const.}$

Substanz	$\alpha$
Zn	$0,45 \pm 0,05$
Cd	$0,32 \pm 0,07$
Sn	$0,47 \pm 0,02$
Hg	$0,50 \pm 0,03$
Pb	$0,49 \pm 0,02$

- Phonons are involved
- e-ph interaction matters

Substanz	$\alpha$
Ru	$0,00 \pm 0,05$
Os	$0,15 \pm 0,05$
Mo	$0,33$
$\text{Nb}_3\text{Sn}$	$0,08 \pm 0,02$
Zr	$0,00 \pm 0,05$

Lacking isotope shift:  
band structure involved

